



# 20<sup>th</sup> International Conference- Science, Technology and Innovation *Booklets*



RENIECYT - LATINDEX - Research Gate - DULCINEA - CLASE - Sudoc - HISPANA - SHERPA UNIVERSIA - Google Scholar DOI - REDIB - Mendeley - DIALNET - ROAD - ORCID - VJLEX

**Title:** Evaluation of the photocatalytic performance of ZnO nanostructures obtained by different synthesis methods

**Authors:** CANO-LÓPEZ, Axel, MELO-MÁXIMO, Lizbeth, MELO-MÁXIMO, Dulce Viridiana and GONZÁLEZ-REYES, Leonardo

**Editorial label ECORFAN:** 607-8695

**BECORFAN Control Number:** 2023-03

**BECORFAN Classification (2023):** 111213-0301

**Pages:** 12

**RNA:** 03-2010-032610115700-14

## MARVID - Mexico

Park Pedregal Business, 3580-  
Adolfo Ruiz Cortines Boulevard –  
CP.01900, San Jerónimo Aculco-  
Álvaro Obregón, Mexico City  
Skype: MARVID-México S.C.  
Phone: +52 1 55 6159 2296  
E-mail: contact@marvid.org  
Facebook: MARVID-México S. C.  
Twitter:@Marvid\_México

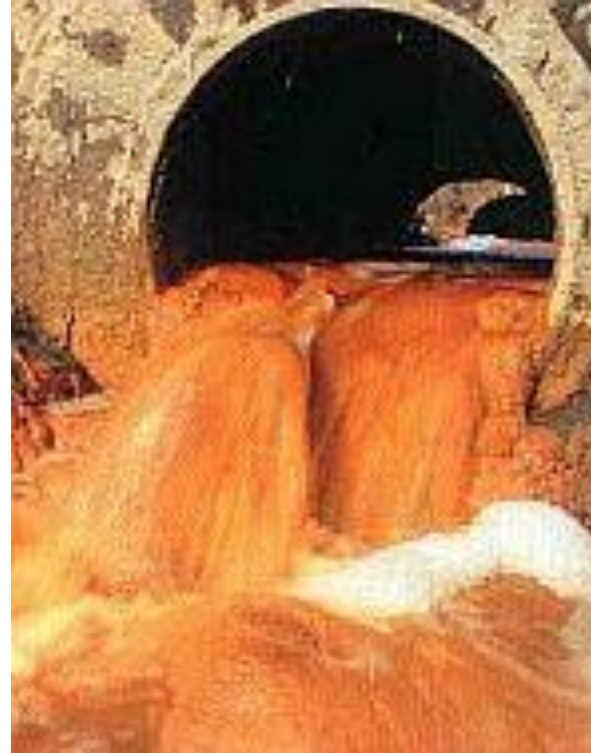
[www.marvid.org](http://www.marvid.org)

<b>Holdings</b>		
Mexico	Colombia	Guatemala
Bolivia	Cameroon	Democratic
Spain	El Salvador	Republic
Ecuador	Taiwan	of Congo
Peru	Paraguay	Nicaragua

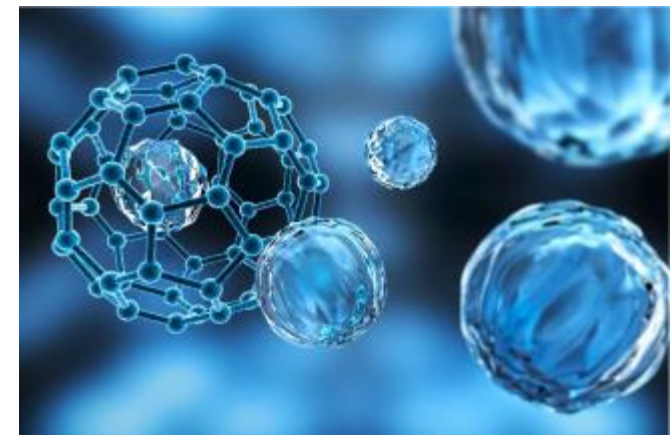
# Introducción



Industria textil



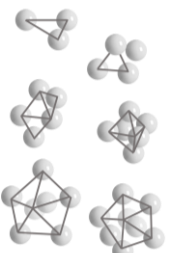
Naranja de metilo



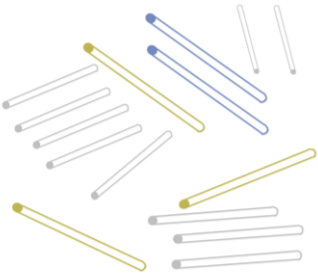
Nanotecnología

# Introducción

## Nanoestructuras



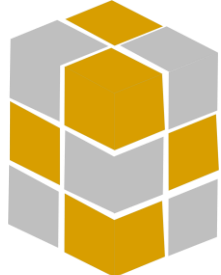
Clusters  
0D



Nanotubos, fibras y alambres  
1D



Películas delgadas  
2D



Policristales  
3D

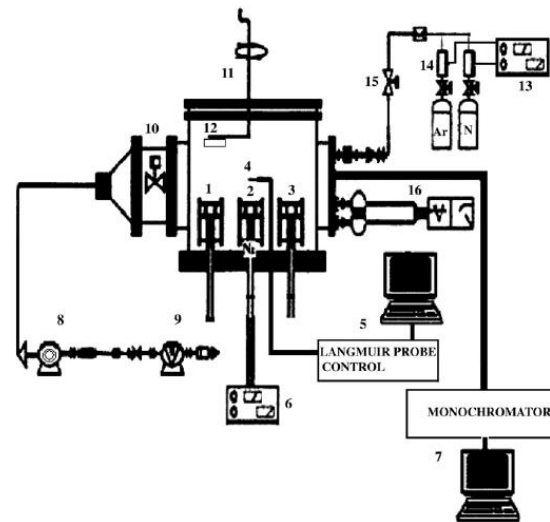
## Síntesis de nanoestructuras



Métodos químicos



Co-precipitación  
Hidrotermal

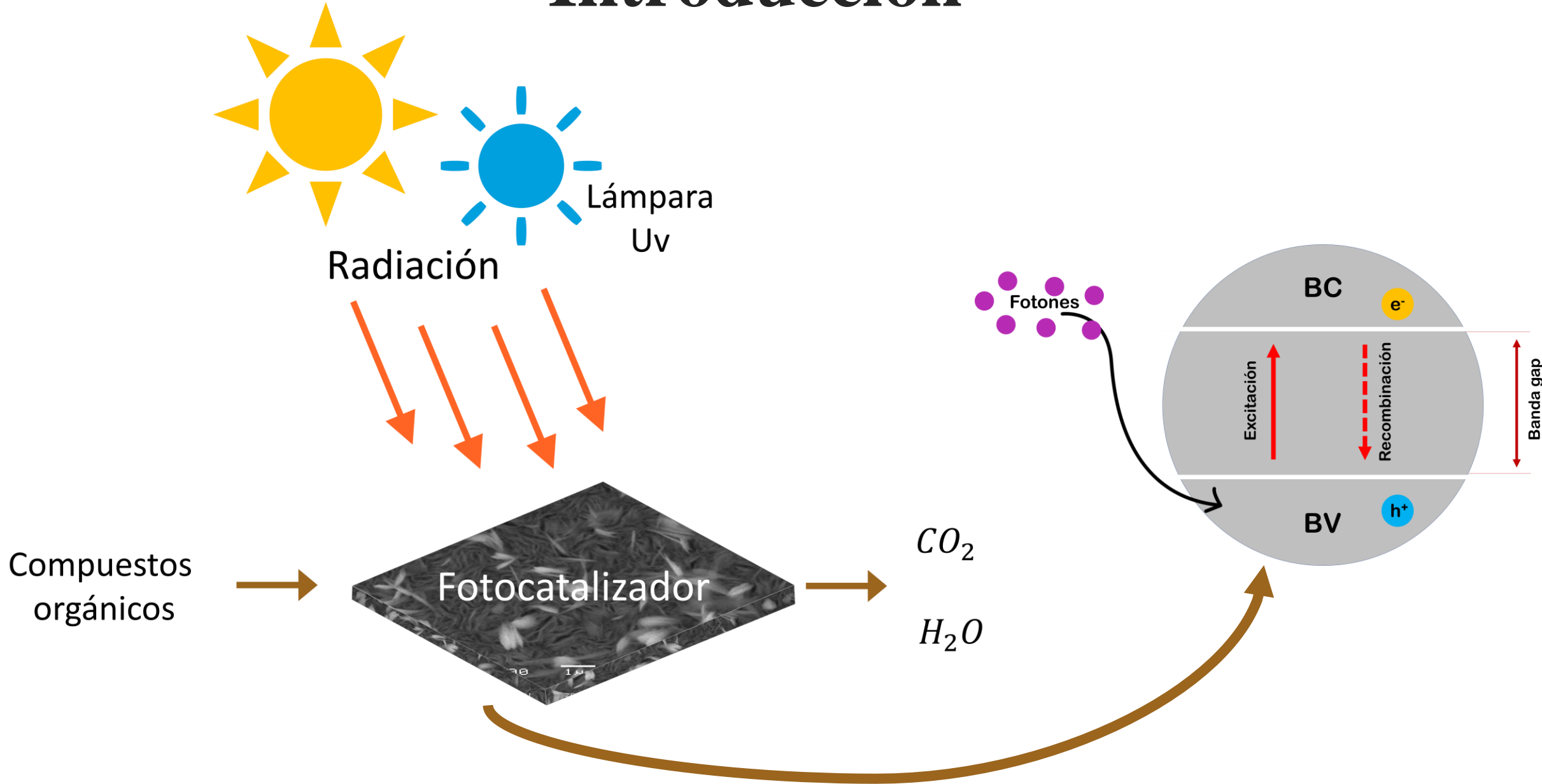


Métodos físicos

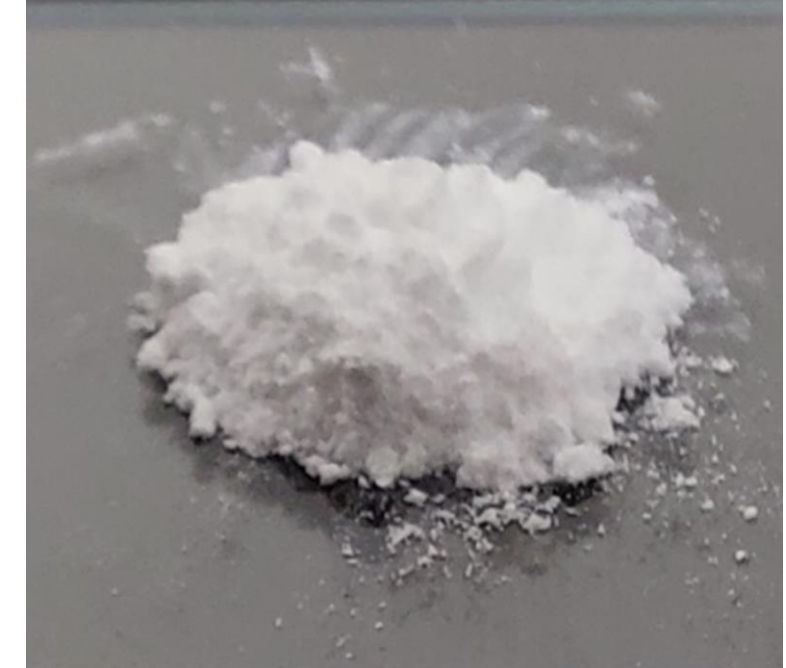
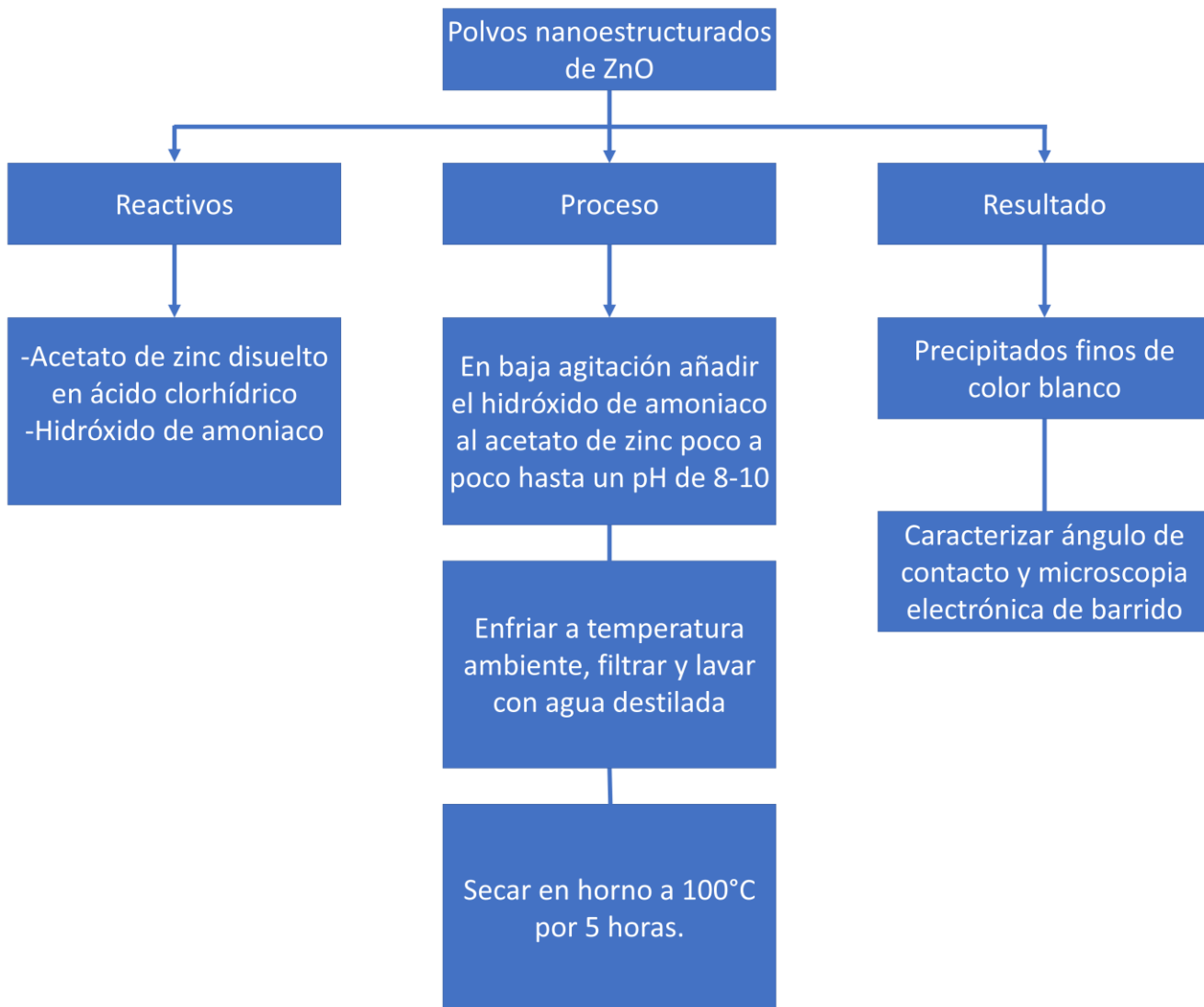


Deposición física de vapor  
por magnetrón reactivo

# Introducción

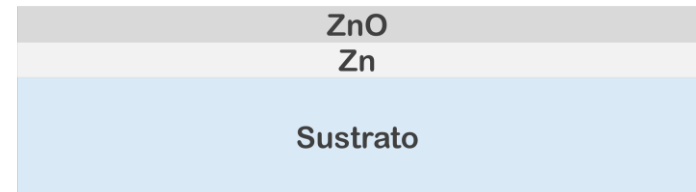
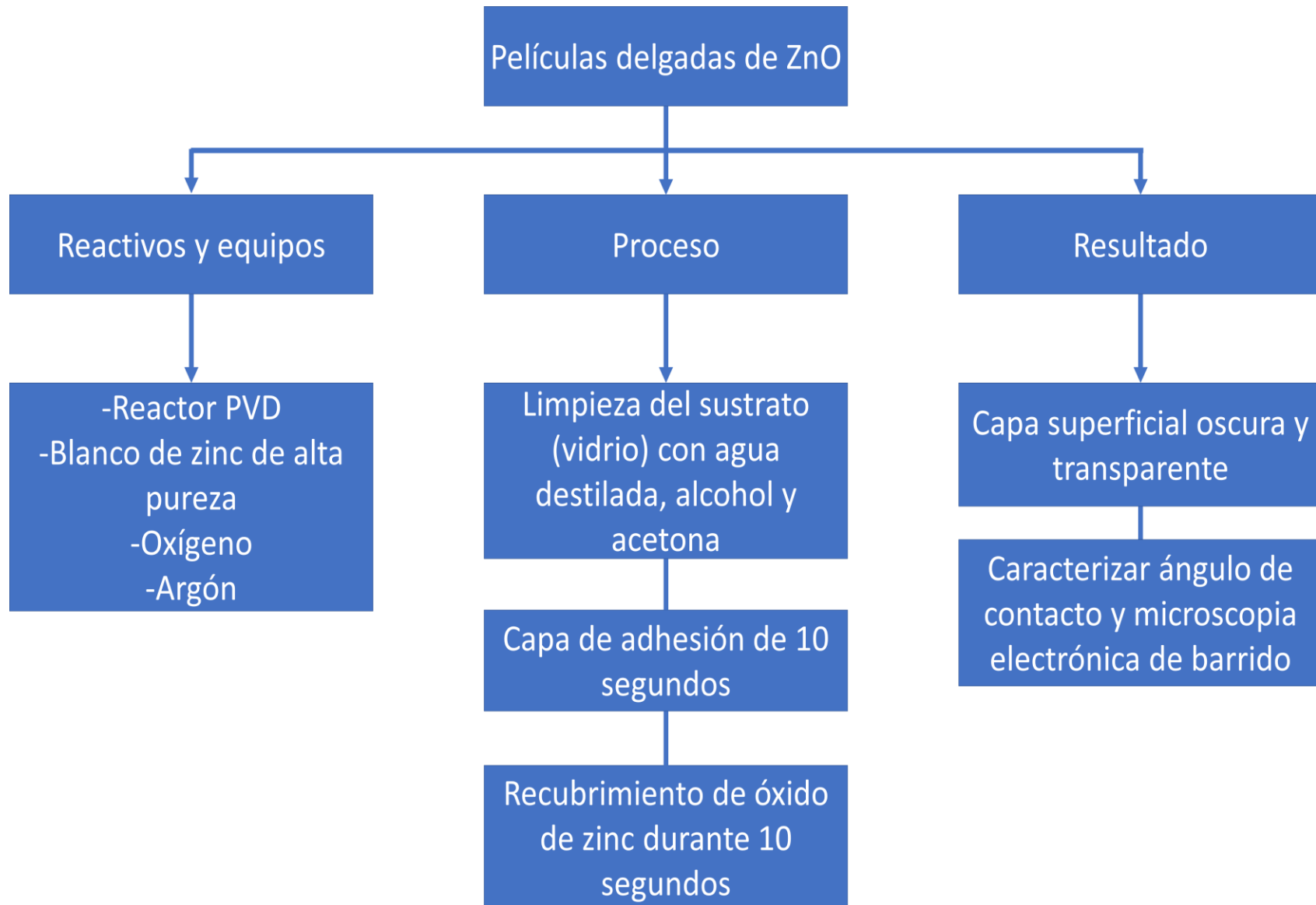


# Metodología

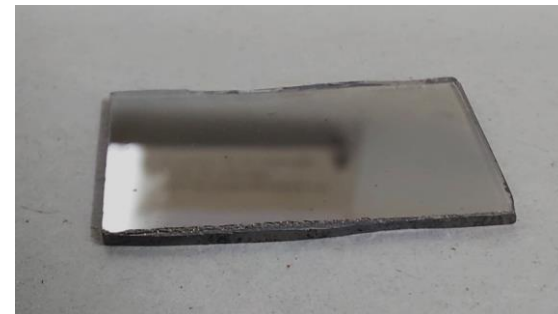


Polvos nanoestructurados de ZnO

# Metodología

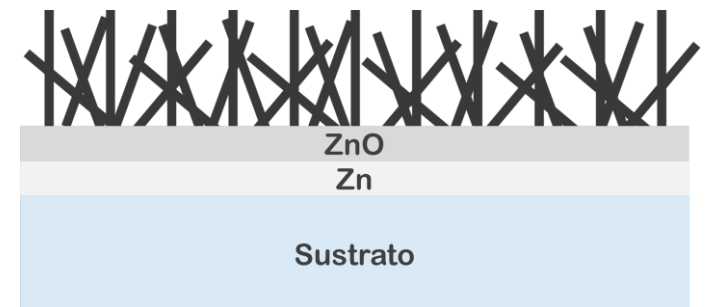
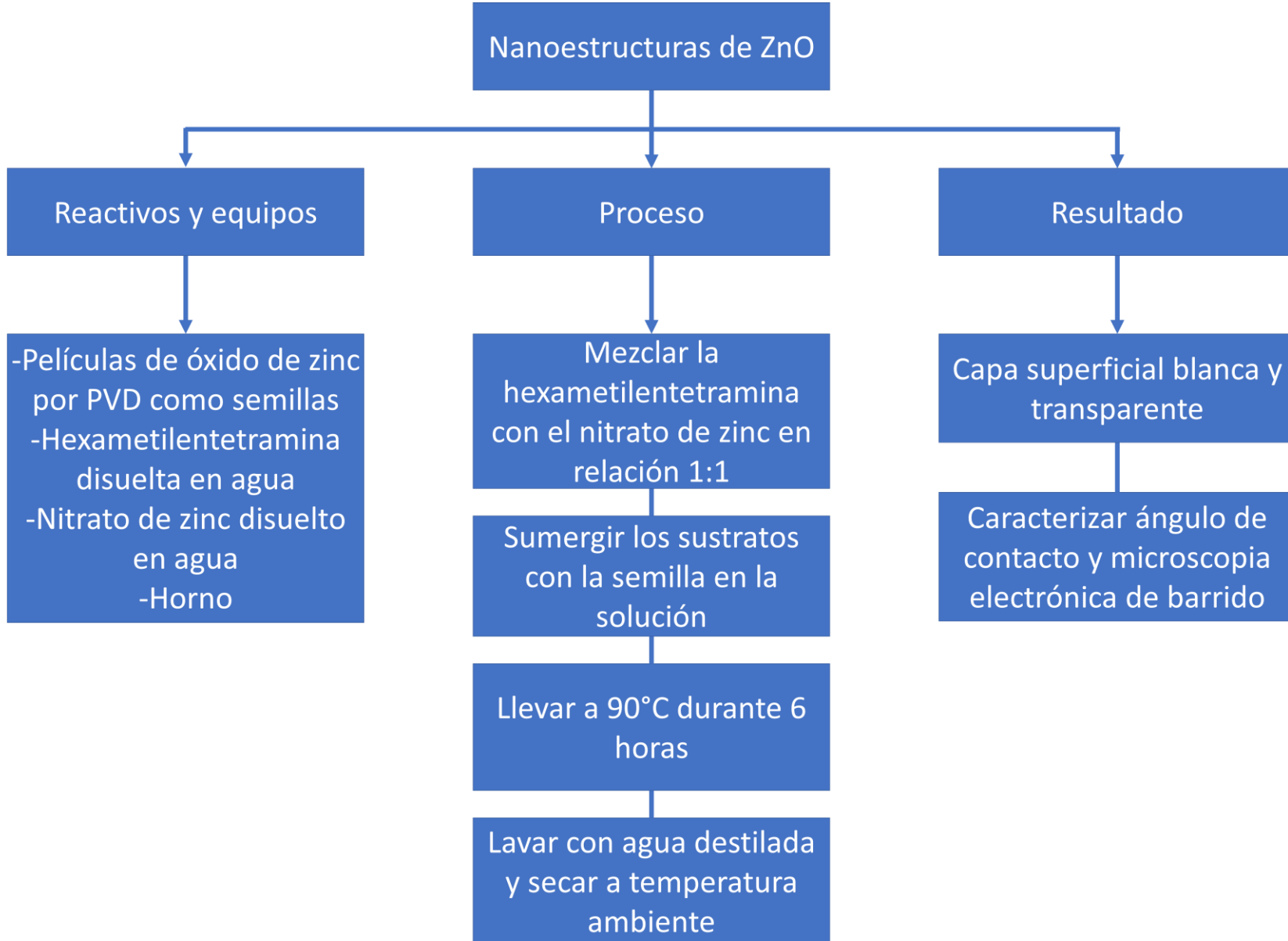


Arquitectura de la película delgada



Película delgada obtenida por PVD

# Metodología

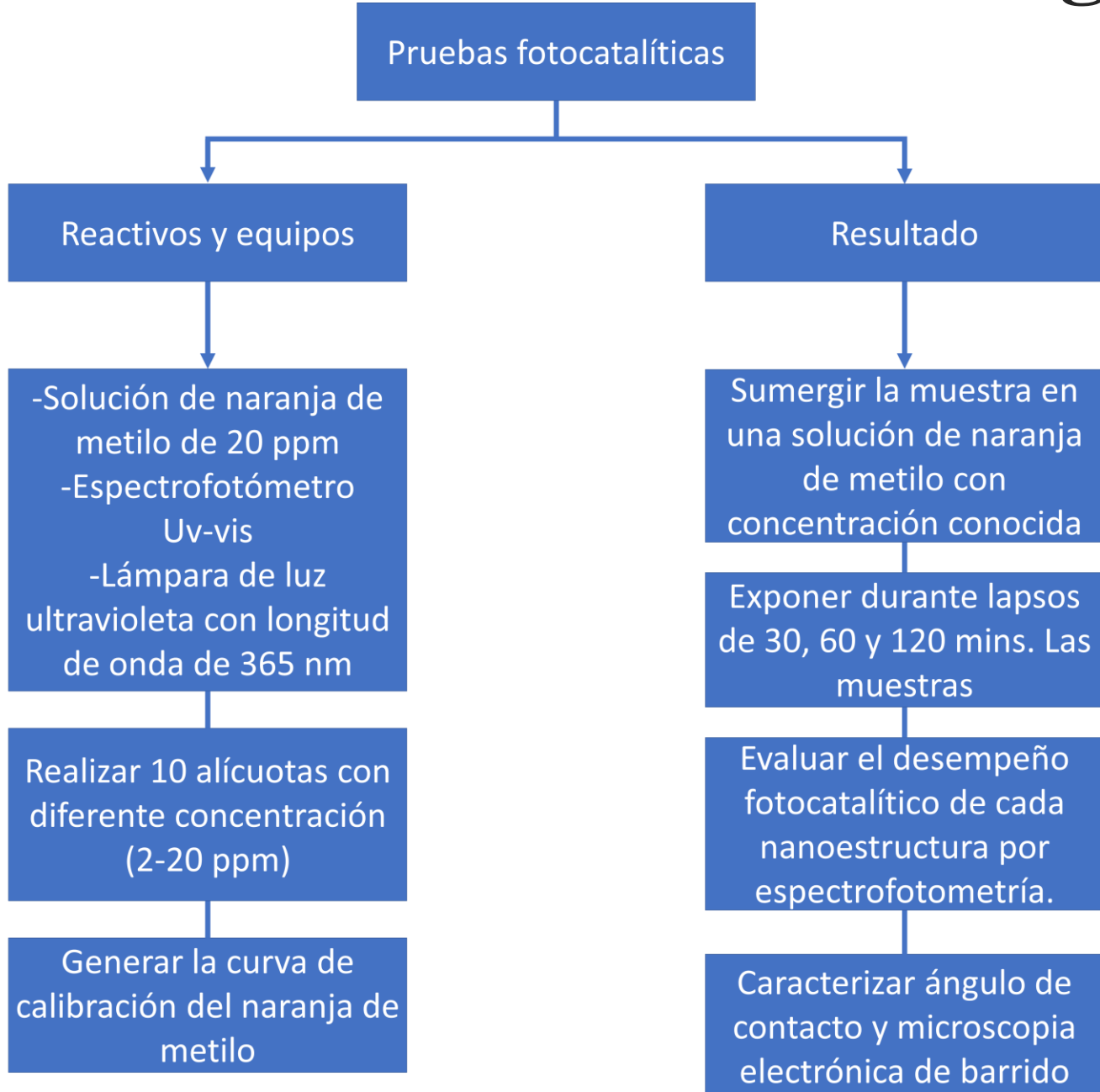


Arquitectura de los nanocables ZnO



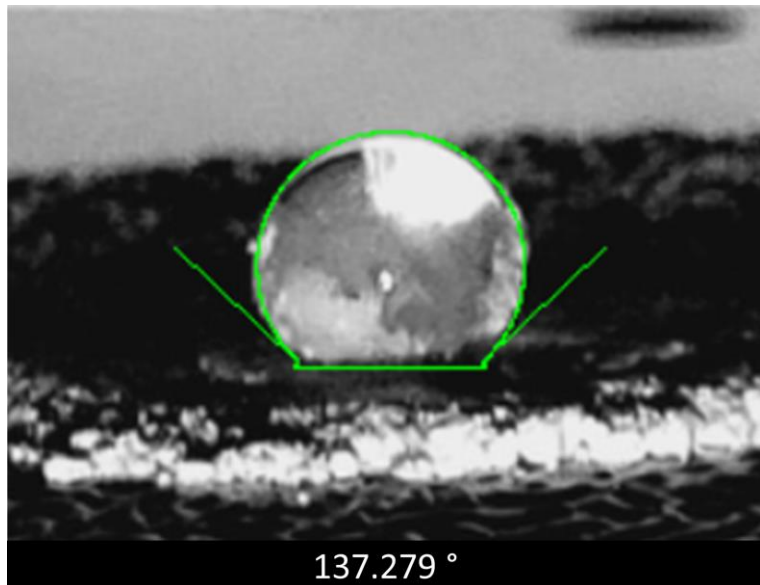
Nanocables de ZnO

# Metodología

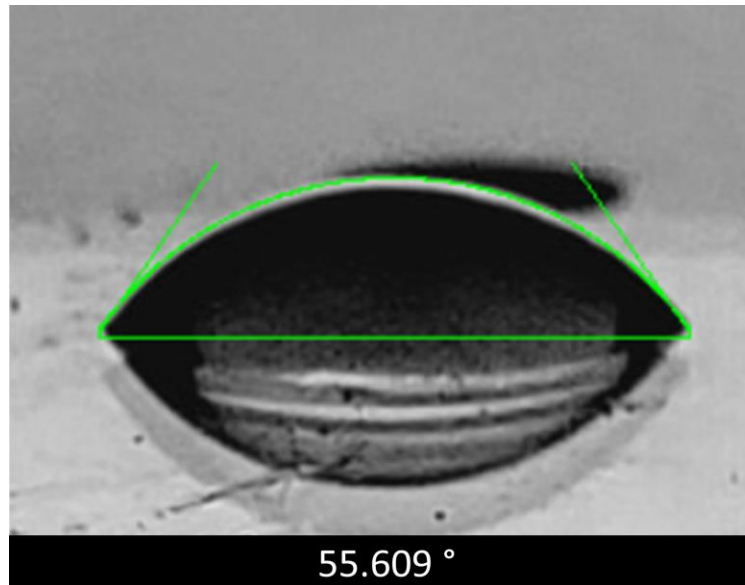


Pruebas de fotocatálisis

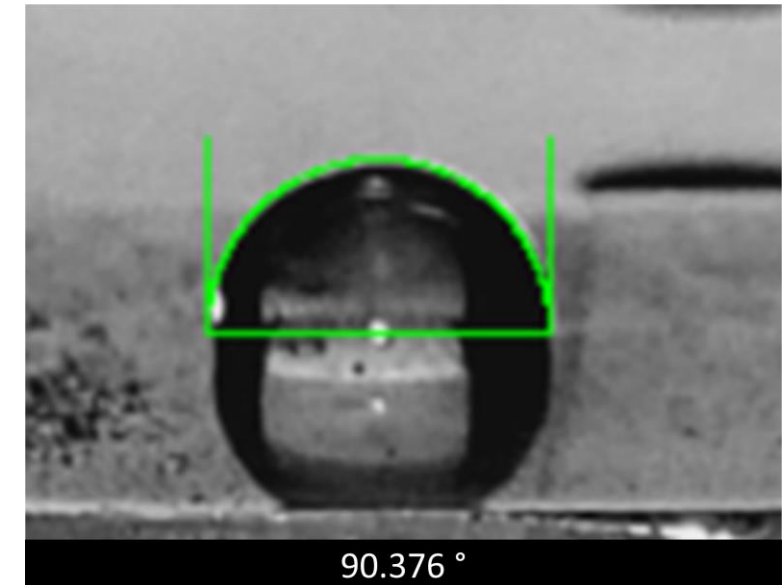
# Resultados: ángulo de contacto



Polvos



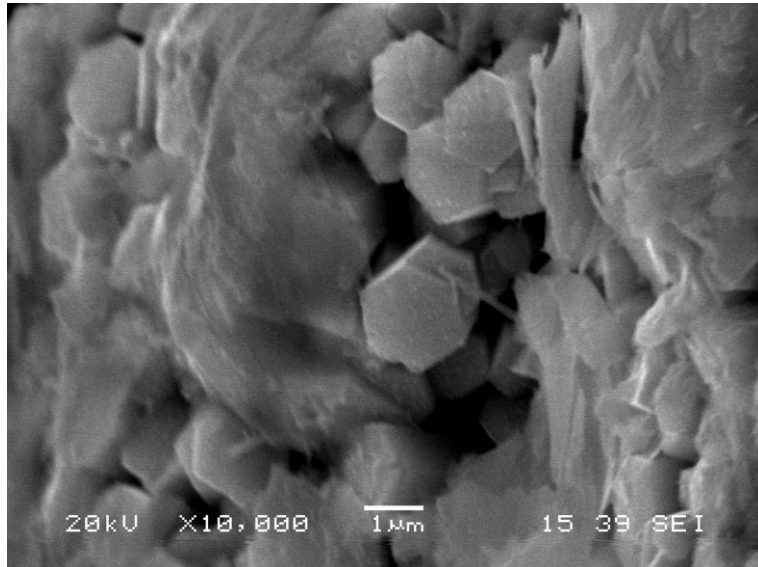
Película delgada



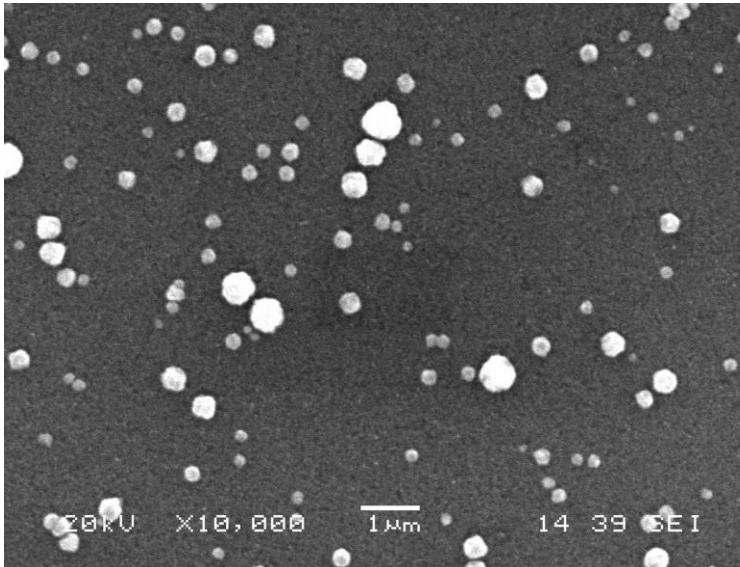
Nanocables

Nanoestructuras de óxido de zinc

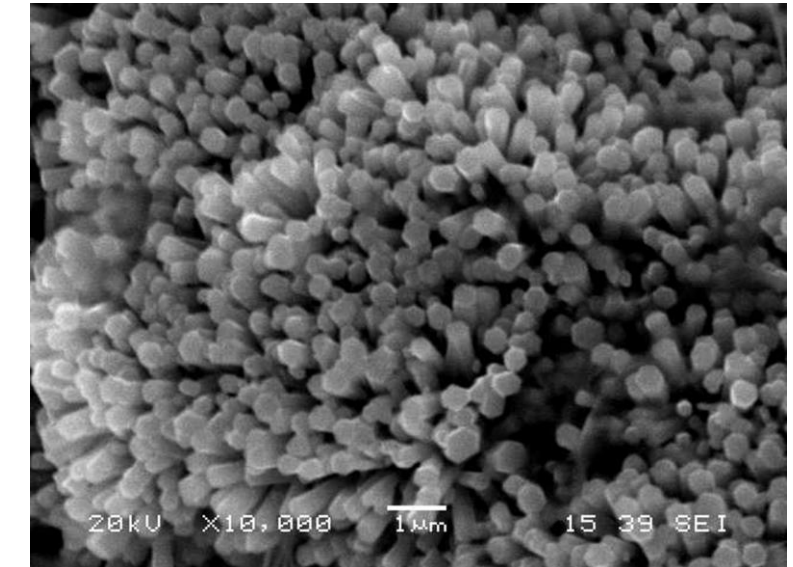
# Resultados: microscopía electrónica de barrido



Polvos



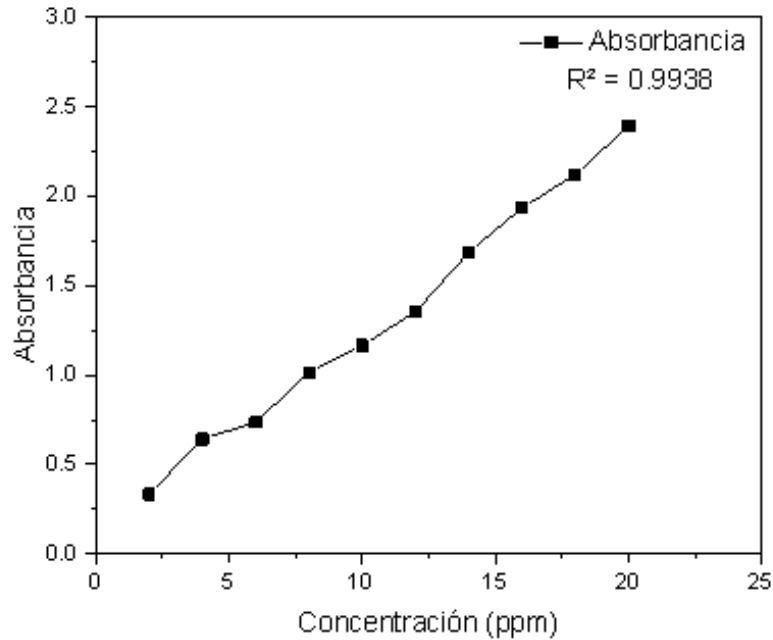
Película delgada



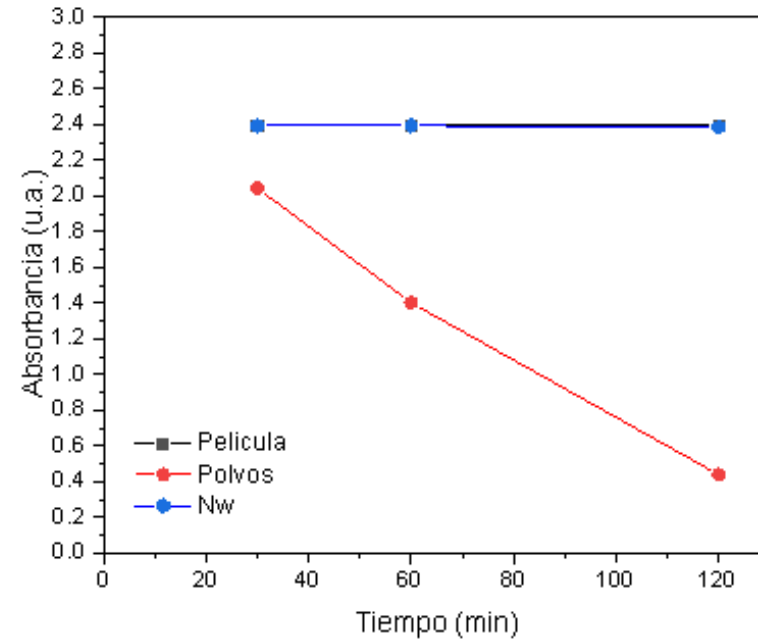
Nanocables

Nanoestructuras de óxido de zinc

# Resultados: fotocatálisis



Curva de calibración de naranja de metilo (NM)



Degradación de naranja de metilo con respecto al tiempo

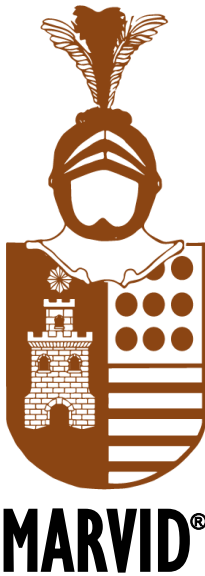
# Conclusiones

Los resultados obtenidos en el desempeño fotocatalítico de los 3 tipos de nanoestructuras muestran un mayor desempeño para los nanopolvos de óxido de zinc, siendo que se obtuvieron degradaciones del mientras que las películas delgadas y los nanocables no presentan actividad fotocatalítica.

La tasa de degradación de naranja de metilo con los polvos de óxido de zinc aumentó con el paso del tiempo.

# Referencias

- [1] M. P. M. D. M. A. M. R. C. V. a. J. L. C. Mahdi Sheikh, «Application of ZnO nanostructures in ceramic and polymeric membranes for water and wastewater technologies: A review,» *Chemical Engineering Journal*, vol. 391, p. 123475, 2020, <https://doi.org/10.1016/j.cej.2019.123475>.
- [2] A. A. Rempel, «Nanotechnologies. Properties and applications of nanostructured materials,» *Russian Chemical Reviews*, vol. 76, p. 435, 2007, DOI: [10.1070/RC2007v076n05ABEH003674](https://doi.org/10.1070/RC2007v076n05ABEH003674).
- [3] A. R. L. C. P.-P. a. T. G. M. Naif Ahmed Alshehri, «Investigation of the growth parameters of hydrothermal ZnO nanowires for scale up applications,» *Journal of Saudi Chemical Society*, vol. 22, nº 5, pp. 538-545, 2018, <https://doi.org/10.1016/j.jscs.2017.09.004>.
- [4] A. R. O. S. a. J. O. J. Acosta, «Process monitoring during AlN deposition by reactive magnetron sputtering,» *Surface and Coatings Technology*, vol. 201, nº 18, pp. 7992-7999, 2007, <https://doi.org/10.1016/j.surfcoat.2007.03.048>.
- [5] V. P. a. V. Skorokhod, «Classification of nanostructures by dimensionality and concept of surface forms engineering in nanomaterial science,» *Materials Science and Engineering: C*, vol. 27, nº 5-8, pp. 990-993, 2007, <https://doi.org/10.1016/j.msec.2006.09.023>.
- [6] K. W. a. G. Mul, «Methods, Mechanism, and Applications of Photodeposition in Photocatalysis: A Review,» *Chemical reviews*, vol. 116, nº 23, pp. 14587-14619, 2016, <https://doi.org/10.1021/acs.chemrev.6b00327>.
- [7] X. C. Y. H. L. a. A. M. C. N. Aleksandra B. Djurišić, «ZnO nanostructures: growth, properties and applications,» *Journal of Materials Chemistry*, vol. 22, pp. 6526-6535, 2012, <https://doi.org/10.1039/C2JM15548F>.
- [8] Y. D. P. Huanca Villanes, Aplicación del método de descomposición fotocatalítica utilizando nanopartículas de óxido de zinc para el tratamiento de aguas residuales, Perú: Universidad Nacional del centro del Perú, 2023, <http://hdl.handle.net/20.500.12894/8991>.



© MARVID-Mexico

No part of this document covered by the Federal Copyright Law may be reproduced, transmitted or used in any form or medium, whether graphic, electronic or mechanical, including but not limited to the following: Citations in articles and comments Bibliographical, compilation of radio or electronic journalistic data. For the effects of articles 13, 162,163 fraction I, 164 fraction I, 168, 169,209 fraction III and other relative of the Federal Law of Copyright. Violations: Be forced to prosecute under Mexican copyright law. The use of general descriptive names, registered names, trademarks, in this publication do not imply, uniformly in the absence of a specific statement, that such names are exempt from the relevant protector in laws and regulations of Mexico and therefore free for General use of the international scientific community. BECORFAN is part of the media of MARVID-Mexico., E: 94-443.F: 008- ([www.marvid.org/booklets](http://www.marvid.org/booklets))